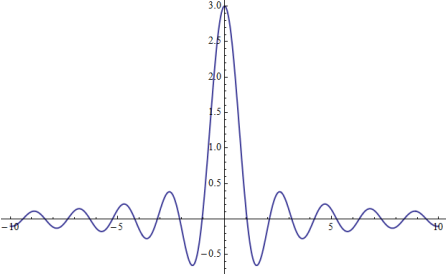
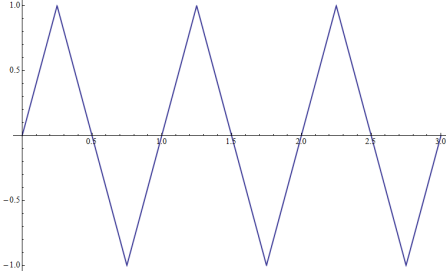
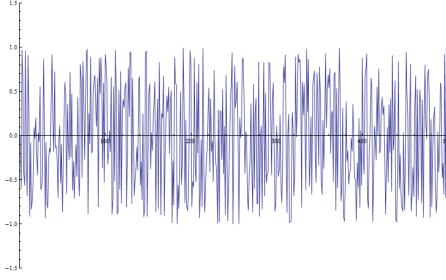


1 Signalbeschreibung Skript S.1

1.1 Energie- und Leistungssignale Skript S.3

Klasse 1: Energiesignal	Klasse 2: Leistungssignale	
zeitbegrenzt oder abklingend, einmalige Vorgänge, Impulse $W_n < \infty$ $P_n = 0$	nicht zeitbegrenzt $W_n = \infty$ $P_n \neq 0$	
	Klasse 2a: periodisch	Klasse 2b: aperiodisch
		
	Zeitbereich	Frequenzbereich
Normierte Signalenergie	$E_n = W_n = \lim_{T \rightarrow \infty} \int_{-\frac{T}{2}}^{\frac{T}{2}} f(t) ^2 dt$	$E_n = \frac{1}{2\pi} \int_{-\infty}^{\infty} F(j\omega) ^2 d\omega$
Normierte Signalleistung:	$P_n = \lim_{T \rightarrow \infty} \frac{1}{T} \int_{-\frac{T}{2}}^{\frac{T}{2}} f(t) ^2 dt$	$P_n = \frac{1}{2\pi} \int_{-\infty}^{\infty} \left(\lim_{T \rightarrow \infty} \frac{ F(j\omega) ^2}{T} \right) d\omega$

1.2 Mittelwerte Skript S.5

Arithmetischer Mittelwert, Gleichwert, Linearer MW $X_0 = \bar{X} = X_m = \frac{1}{T} \int_{t_0}^{t_0+T} x(t) dt$

$$X_0 = \lim_{T \rightarrow \infty} \frac{1}{T} \int_{-\frac{T}{2}}^{\frac{T}{2}} x(t) dt$$

Quadratischer MW, Leistung $X^2 = \frac{1}{T} \int_{t_0}^{t_0+T} x^2(t) dt$

Effektivwert $X = X_{\text{eff}} = \sqrt{X^2} = \sqrt{\frac{1}{T} \int_{t_0}^{t_0+T} x^2(t) dt}$

Gleichrichtwert $X_{|m|} = |\bar{X}| = \frac{1}{T} \int_{t_0}^{t_0+T} |x(t)| dt$

Varianz, Standardabweichung $\text{Var}(x) = \sigma^2 = \frac{1}{T} \int_{-\frac{T}{2}}^{\frac{T}{2}} (x(t) - X_0)^2 dt = X^2 - X_0^2$
 $X^2 = \text{var}(x) + X_0^2 = |X|^2 = \text{var}(|x|) + |X_0|^2$

(Kl. 2a) Ist die Fläche unter der Zeitfunktion über eine Periode.

(Kl. 2b)

$X^n = \frac{1}{T} \int_{t_0}^{t_0+T} x^n(t) dt$ (MW n. Ordnung)

Arithm. Mittelwert der Zweiweggleichrichterschaltung

Mittl. Abweichung im Quadrat

1.3 Funktionen

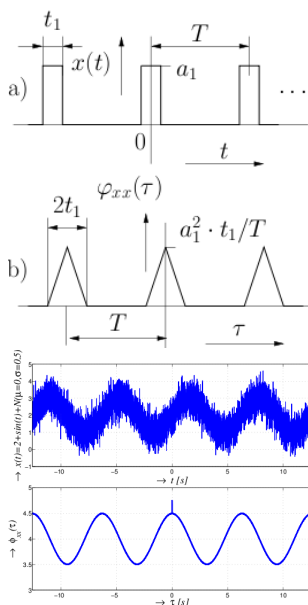
Autokorrelationsfunktion (AKF)

“Wie weit wird die Zukunft von der Vergangenheit geprägt?”

Für **Energiesignale** (Klasse 1):

$$\varphi_{xx}(\tau) = \lim_{T \rightarrow \infty} \int_{-T/2}^{T/2} x(t)x(t-\tau)dt = \lim_{T \rightarrow \infty} \int_{-T/2}^{T/2} x(t+\tau)x(t)dt = \varphi_{xx}(-\tau)$$

Skript S.8



Für **periodische Leistungssignale** (Klasse 2a):

$$\varphi_{xx}(\tau) = \frac{1}{T} \int_{-T/2}^{T/2} x(t)x(t-\tau)dt = \frac{1}{T} \int_{-T/2}^{T/2} x(t+\tau)x(t)dt = \varphi_{xx}(-\tau)$$

Für **nichtperiodische, stochastische Leistungssignale** (Klasse 2b):

$$\varphi_{xx}(\tau) = \lim_{T \rightarrow \infty} \frac{1}{T} \int_{-T/2}^{T/2} x(t)x(t-\tau)dt = \lim_{T \rightarrow \infty} \frac{1}{T} \int_{-T/2}^{T/2} x(t+\tau)x(t)dt = \varphi_{xx}(-\tau)$$

Eigenschaften

- $\varphi_{xx}(0) = X^2$ (Hat immer Diracstoss bei $\tau = 0$)
- $\varphi_{xx}(\tau) = \varphi_{xx}(\tau \pm mT)$, d.h. die AKF ist periodisch mit der gleichen Periode T wie das Signal $x(t)$.
- $\varphi_{xx}(\tau) = \varphi_{xx}(-\tau)$: d.h. die AKF ist eine **gerade Funktion**
- $\varphi_{xx}(0) \geq |\varphi_{xx}(\tau)|$
- $\varphi_{xx}(\tau) \geq (X_0)^2 - \sigma^2$

Beispiel: $x(t) = a_k \cos(\omega t + \varphi) \Rightarrow \varphi_{xx}(\tau) = \frac{a_k^2}{2} \cos(\omega \tau)$

$x(t) = b_k \sin(\omega t + \varphi) \Rightarrow \varphi_{xx}(\tau) = \frac{b_k^2}{2} \cos(\omega \tau)$

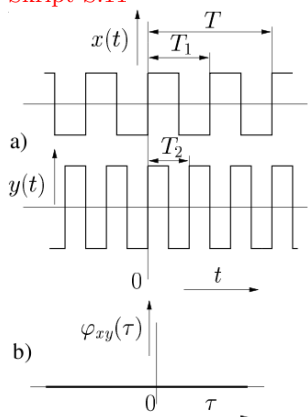
Kreuzkorrelationsfunktion (KKF)

“Wie ähnlich sind sich zwei Signale?” (Matlab: `xcorr`)

Für **Energiesignale** (Klasse 1):

$$\varphi_{xy}(\tau) = \lim_{T \rightarrow \infty} \int_{-T/2}^{T/2} x(t)y(t-\tau)dt = \int_{-T/2}^{T/2} x(t+\tau)y(t)dt$$

Skript S.11



Für **periodische Leistungssignale** (Klasse 2a):

$$\varphi_{xy}(\tau) = \frac{1}{T} \int_{-T/2}^{T/2} x(t)y(t-\tau)dt = \frac{1}{T} \int_{-T/2}^{T/2} x(t+\tau)y(t)dt$$

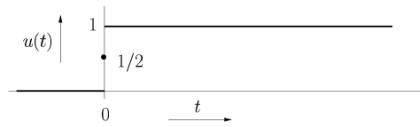
Für **nichtperiodische, stochastische Leistungssignale** (Klasse 2b):

$$\varphi_{xy}(\tau) = \lim_{T \rightarrow \infty} \frac{1}{T} \int_{-T/2}^{T/2} x(t)y(t-\tau)dt = \lim_{T \rightarrow \infty} \frac{1}{T} \int_{-T/2}^{T/2} x(t+\tau)y(t)dt$$

Bei Signalen mit verschiedenen Frequenzen ist φ_{xy} immer 0, ausser die Gleichstromanteile!

Sprungfunktion Skript S.16

Einschaltfunktion, Einheitssprung, Heaviside-Funktion (Matlab: `heaviside`)

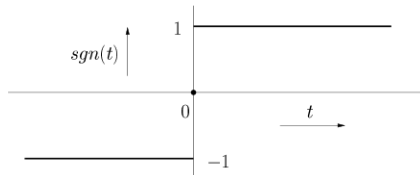


$$u(t) = 1(t) = \begin{cases} 0 & \text{für } t < 0, \\ \frac{1}{2} & \text{für } t = 0, \\ 1 & \text{für } t > 0. \end{cases}$$

$$\mathcal{L}: u(t) \circ \bullet \frac{1}{s}$$

Signumfunktion Skript S.17

Vorzeichenfunktion (Matlab: `sign`)

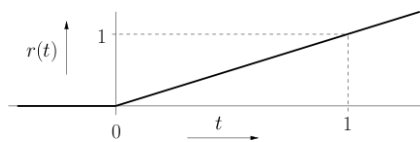


$$\text{sgn}(t) = \begin{cases} -1 & \text{für } t < 0, \\ 0 & \text{für } t = 0, \\ 1 & \text{für } t > 0. \end{cases}$$

$$\mathcal{F}: \text{sgn}(t) \circ \bullet \frac{-2j}{\omega}$$

Rampenfunktion Skript S.17

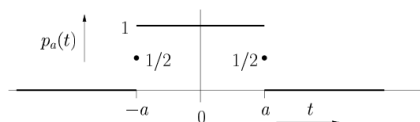
(Matlab: `ramp`)



$$r(t) = tu(t) = \begin{cases} 0 & \text{für } t \leq 0 \\ t & \text{für } t > 0 \end{cases}$$

$$\mathcal{L}: r(t) \circ \bullet \frac{1}{s^2}$$

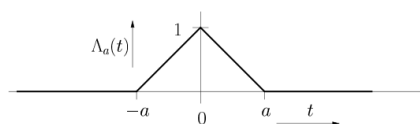
Rechteckimpuls Skript S.18



$$p_a(t) = u(t+a) - u(t-a) = \begin{cases} 1 & \text{für } |t| < a \\ \frac{1}{2} & \text{für } |t| = a \\ 0 & \text{für } |t| > a \end{cases}$$

$$\mathcal{F}: p_a(t) \circ \bullet 2a \text{sinc}(a\omega) = \frac{2}{\omega} \sin(a\omega)$$

Dreieckimpuls Skript S.19

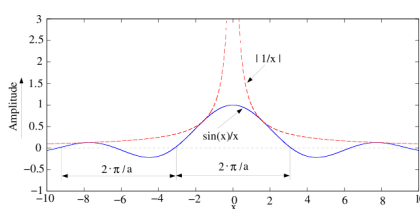


$$\Lambda_a(t) = \begin{cases} 1 - \frac{|t|}{a} & \text{für } |t| < a \\ 0 & \text{für } |t| \geq a \end{cases}$$

$$\mathcal{F}: \Lambda_a(t) \circ \bullet a \left(\frac{\sin(\frac{a\omega}{2})}{\frac{a\omega}{2}} \right)^2 = a \text{sinc}^2\left(\frac{a\omega}{2}\right)$$

Sincfunktion Skript S.19

(Matlab: `sinc`)



$$\text{sinc}_\alpha(t) = \frac{\sin(\alpha t)}{t} \quad \text{sinc}(\alpha t) = \frac{\sin(\alpha t)}{\alpha t}$$

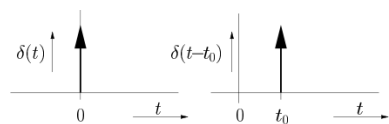
$$\mathcal{F}: \text{sinc}_\alpha(t) = \frac{\sin(\alpha t)}{t} \circ \bullet \pi p_\alpha(\omega)$$

$$\mathcal{F}: \text{sinc}(\alpha t) = \frac{\sin(\alpha t)}{\alpha t} \circ \bullet \frac{\pi}{\alpha} p_\alpha(\omega)$$

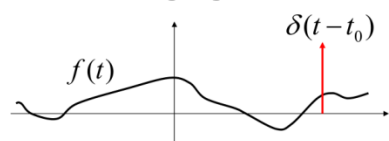
Impulsfunktion Skript S.20

Diracimpuls, Diracstoss, Deltaimpuls (Matlab: `dirac`)

$$\delta(t) = \begin{cases} \infty & \text{für } t = 0 \\ 0 & \text{sonst} \end{cases} \quad \int_{-\infty}^{\infty} \delta(t) dt = 1$$



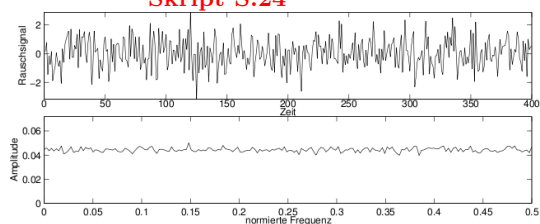
Siebungseigenschaft



1.	$\delta(at) = \frac{1}{ a } \delta(t)$	Skalierung
2.	$\delta(\frac{t-t_0}{a}) = a \cdot \delta(t-t_0)$	Skalierung und Verschiebung
3.	$\delta(-t+t_0) = \delta(t-t_0)$	symmetrisch
4.	$\delta(-t) = \delta(t)$	$\delta(t)$ = gerade Funktion
5.	$\int_{-\infty}^{\infty} \delta(t-t_0) f(t) dt = f(t_0)$	Siebungseigenschaft
6.	$\delta(t-t_0) f(t) = f(t_0) \delta(t-t_0)$	Abtastung
7.	$\int_{-\infty}^{\infty} A \cdot \delta(t) dt = A$	Spezialfall der Siebungseigenschaft
8.	$\delta(t-t_0) * f(t) = f(t-t_0)$	Faltung
9.	$\delta(t-t_1) * \delta(t-t_2) = \delta(t-t_1-t_2)$	Faltung
10.	$\int_{-\infty}^t \delta(\tau) d\tau = u(t); \quad \delta(t) = \frac{\partial u(t)}{\partial t}$	Ableitung des Einheitssprungs
11.	$\delta(t) = \lim_{\omega \rightarrow \infty} \frac{\sin(\omega t)}{\pi t}$	Definition
12.	$\mathcal{L}, \mathcal{F}: \quad \delta(t) \circ \bullet 1$ $1 \circ \bullet 2\pi\delta(\omega)$	Frequenzbereich

Rauschen Skript S.24

(Matlab: `randn`)



Ist die Intensität der Rauschspannung über viele Frequenzdekaden gleich verteilt, so spricht man von weissem Rauschen.

Signal to Noise Ratio: $SNR = \frac{\text{Signalleistung}}{\text{Rauschleistung}}$ (rauschfrei $\rightarrow \infty$)

Signal-Rausch-Verhältnis (SNR): $a_r = 10 \cdot \log_{10} \left(\frac{P_s}{P_r} \right) = 20 \cdot \log_{10} \left(\frac{U_s}{U_r} \right)$

Rauschzahl (noise figure): $F = \frac{P_{sEingang}}{P_{rEingang}} \cdot \frac{P_{rAusgang}}{P_{sAusgang}}$

$F = 1$, bei einem idealen Vierpol

Rauschmass: $a_F = 10 \cdot \log_{10}(F) = a_{rEingang} - a_{rAusgang}$

Effektive Rauschspannung: $U_r = \sqrt{4 \cdot k \cdot T \cdot \Delta f \cdot R}$

Effektive Rauschleistung: $P_r = k \cdot T \cdot \Delta f$

P_s, U_s : Nutzsignal

P_r, U_r : Rauschsignal

T : absolute Temperatur ($0^\circ = 273.15K$)

Δf : Bandbreite

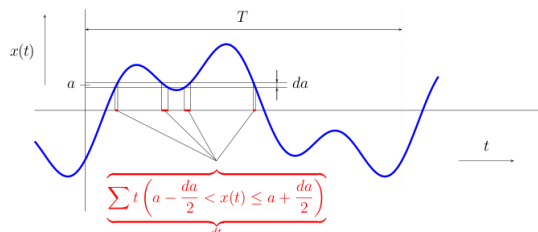
$k = 1.380662 \cdot 10^{-23} \frac{J}{K}$: Boltzmann-Konstante

1.4 Amplitudenanalyse Skript S.29

“Zeit während sich Signal in bestimmtem Amplitudenintervall aufhält”

$$p(a) = \lim_{da \rightarrow 0} \frac{\underbrace{\sum t \left(a - \frac{da}{2} < x(t) \leq a + \frac{da}{2} \right)}_{dt}}{T \cdot da} = \frac{1}{T} \cdot \frac{dt}{da}$$

$$\int_{-\infty}^{\infty} p(a) da = 1; \quad p(a) \geq 0 \forall a$$



Linearer Mittelwert

$$X_0 = \int_{-\infty}^{\infty} a \cdot p(a) da$$

Mittelwert n . Ordnung

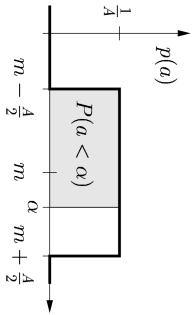
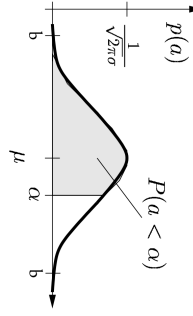
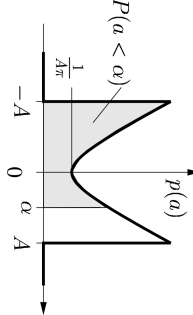
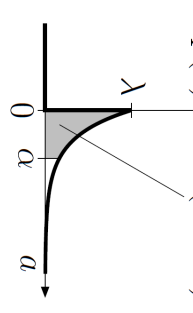
$$X^n = \int_{-\infty}^{\infty} a^n \cdot p(a) da$$

Varianz

$$Var(x) = \int_{-\infty}^{\infty} (a - X_0)^2 \cdot p(a) da$$

$$\begin{aligned} x_1(t) \text{ mit } p_1(a) &\rightarrow x_3(t) = x_1(t) + x_2(t) \text{ mit } p_3(a) = (p_1 * p_2)(a) \\ x_2(t) \text{ mit } p_2(a) & \end{aligned}$$

Zusammenstellung verschiedener Verteilungen **Skript S.39**

Verteilung	gleichverteilt	gaussförmig	sinusförmig	exponentiell
<p>Amplitudendichte</p> <p>$p(a) =$</p> <p>Wahrscheinlichkeit, dass die Amplitude a kleiner gleich α ist</p> <p>$P(a \leq \alpha) = \int_{-\infty}^{\alpha} p(a) da =$</p>				
$\begin{cases} \frac{1}{A} & a - m \leq \frac{A}{2}, \\ 0 & a - m > \frac{A}{2}. \end{cases}$	$\frac{1}{\sqrt{2\pi}\sigma} e^{-\frac{(a-\mu)^2}{2\sigma^2}}$	$\begin{cases} \frac{1}{\pi\sqrt{A^2 - a^2}} & a \leq A, \\ 0 & a > A. \end{cases}$	$\begin{cases} \lambda e^{-\lambda a} & a \geq 0 \\ 0 & a < 0 \end{cases}$	
$\begin{cases} 0 & \alpha < m - \frac{A}{2}, \\ \frac{\alpha - (m - \frac{A}{2})}{A} & \alpha - m \leq \frac{A}{2} \\ 1 & \alpha \geq m + \frac{A}{2}. \end{cases}$	$Q\left(\frac{\mu - \alpha}{\sigma}\right)$	$\begin{cases} 0 & \alpha \leq -A, \\ \frac{1}{\pi} \left(\frac{\pi}{2} + \sin^{-1}\left(\frac{a}{A}\right) \right) & \alpha < A, \\ 1 & \alpha \geq A. \end{cases}$	$\begin{cases} 0 & \alpha < 0 \\ 1 - e^{-\lambda \alpha} & \alpha \geq 0 \end{cases}$	
Mittelwert $X_0 =$	m	μ	0	$\frac{1}{\lambda}$
Varianz $\text{Var}(x) =$	$\frac{A^2}{12}$	σ^2	$\frac{A^2}{2}$	$\frac{1}{\lambda^2}$
Leistung $X^2 =$	$m^2 + \frac{A^2}{12}$	$\mu^2 + \sigma^2$	$\frac{A^2}{2}$	$\frac{2}{\lambda^2}$

Anmerkung zur gaussförmigen Verteilung: Im Intervall $\mu \pm 3\sigma$ sind 99,73% aller Messwerte zu finden. In der Zeichnung ist diese Stelle mit **b** gekennzeichnet.

Zentraler Grenzwertsatz

X_1, X_2, \dots, X_n sind lauter identisch verteilte (nicht notwendig normalverteilt!) unabhängige Zufallsvariablen mit demselben Erwartungswert μ und derselben Varianz σ^2 und mit $Z = \frac{X - \mu}{\sigma}$.
Dann hat die Summe

$$S_n = \frac{1}{\sqrt{n}} \sum_{i=1}^n Z_i$$

den Erwartungswert $n\mu$ und die Varianz $n\sigma^2$.

Die damit verbundene standardisierte ($E(X) = 0, \text{var}(X) = 1$) Variable S_n ist somit wie folgt definiert:

$$S_n = \frac{1}{\sqrt{n}} \sum_{i=1}^n \frac{X_i - \mu}{\sigma} = \frac{1}{\sqrt{n} \cdot \sigma} \left[\left(\sum_{i=1}^n X_i \right) - n\mu \right] = \frac{\bar{X} - \mu}{\sigma/\sqrt{n}}$$

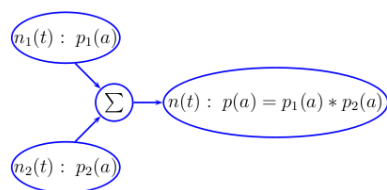
Für $n \rightarrow \infty$ strebt die Verteilung von S_n gegen die Standardnormalverteilung.

Faltung Skript S.35

Convolution, "Addition zweier unabhängiger ergodischer Prozesse n_i " (Matlab: `conv`)

$$p(a) = \int_{-\infty}^{\infty} p_1(\xi) \cdot p_2(a - \xi) d\xi = p_1(a) * p_2(a) = p_2(a) * p_1(a) = \int_{-\infty}^{\infty} p_2(\xi) \cdot p_1(a - \xi) d\xi$$

Die Breite des Faltungsproduktes entspricht der Summe der Breite der einzelnen Faktoren.



Faltung im Zeitbereich \rightarrow Multiplikation im Frequenzbereich

$$f(t) * g(t) \circ \bullet F(s)G(s)$$

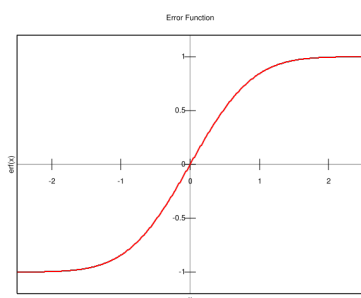
Faltung im Frequenzbereich \rightarrow Multiplikation im Zeitbereich

$$F(s) * G(s) \bullet \circ \frac{1}{2\pi} f(t)g(t)$$

Faltung zweier Normalverteilungen

$$N(\mu_1; \sigma_1) * N(\mu_2; \sigma_2) = N(\mu_1 + \mu_2; \sqrt{\sigma_1^2 + \sigma_2^2})$$

Q-Funktion Skript S.42



"Wahrscheinlichkeit eines Fehlers" (Matlab: `erf`, `erfc`)

Wenn die Resultate einer Messserie mit einer Normalverteilung mit Varianz σ und Erwartungswert 0 auftreten, dann ist $\text{erf}\left(\frac{a}{\sigma\sqrt{2}}\right)$ die Wahrscheinlichkeit, dass ein einzelner Messwert zwischen $-a$ und a liegt.

Tabelle Skript S.53

$$Q(\xi) = \frac{1}{\sqrt{2\pi}} \int_{\xi}^{\infty} e^{-\frac{y^2}{2}} dy$$

$$Q(\xi) = \frac{1}{2} \text{erfc}\left(\frac{\xi}{\sqrt{2}}\right) = \frac{1}{2} \left(1 - \text{erf}\left(\frac{\xi}{\sqrt{2}}\right) \right)$$

2 Frequenzanalyse **Skript S.55**

2.1 Diverse Formeln

Bessel's Theorem Skript S.72	$\int_{-\infty}^{\infty} f(t) ^2 dt = \frac{1}{2\pi} \int_{-\infty}^{\infty} F(j\omega) ^2 d\omega$
Parseval's Theorem Skript S.72	$\int_{-\infty}^{\infty} f(t) \cdot g^*(t) dt = \frac{1}{2\pi} \int_{-\infty}^{\infty} F(j\omega) \cdot G^*(j\omega) d\omega$
Gibbschesphänomen	Überschwinger beträgt ca. 18% der Amplitude oder ca. 9% der Sprunghöhe. $S_{\infty} = \frac{f(x_0^+) + f(x_0^-)}{2}$ (approximiert)
Autokorrelation Skript S.67	$\varphi_{xx}(\tau) = \sum_{k=-\infty}^{\infty} c_k c_{-k} e^{-j\frac{2\pi k}{T_0}\tau} = \sum_{k=-\infty}^{\infty} c_k ^2 e^{-j\frac{2\pi k}{T_0}\tau} = c_0 ^2 + 2 \cdot \sum_{k=1}^{\infty} c_k ^2 \cdot \cos(\frac{2\pi k}{T_0}\tau)$
Leistung Skript S.67	$X^2 = \sum_{k=-\infty}^{\infty} c_k ^2 = c_0 ^2 + 2 \cdot \sum_{k=1}^{\infty} c_k ^2 = (\frac{a_0}{2})^2 + \sum_{k=1}^{\infty} \frac{a_k^2 + b_k^2}{2} = (\frac{a_0}{2})^2 + \sum_{k=1}^{\infty} \frac{A_k^2}{2}$
Bandbreitentheorem Skript S.70	$\Delta\omega \cdot \Delta t \geq \gamma$ mit $\gamma \geq \frac{1}{2}$

2.2 Leistungs dichtespektrum **Skript S.80**

$$\phi(j\omega) = \lim_{T \rightarrow \infty} \frac{|F(j\omega)|^2}{T} \quad \phi(j\omega): \text{Leistungsdichtespektrum}$$

$$P_n = \frac{1}{2\pi} \int_{-\infty}^{\infty} \phi(j\omega) d\omega \quad P_n: \text{normierte Leistung}$$

$$E(j\omega) = |F(j\omega)|^2 \quad E(j\omega): \text{Energiedichtespektrum}$$

2.3 Wiener-Chintchine Theorem **Skript S.81**

$$\varphi_{xx}(t) = \frac{1}{2\pi} \int_{-\infty}^{\infty} \phi(j\omega) e^{j\omega t} d\omega \quad \circ \longrightarrow \bullet \quad \phi(j\omega) = \int_{-\infty}^{\infty} \varphi_{xx}(t) e^{-j\omega t} dt$$

$$\varphi_{xx}(t) = \frac{1}{2\pi} \int_{-\infty}^{\infty} E(j\omega) e^{j\omega t} d\omega \quad \circ \longrightarrow \bullet \quad E(j\omega) = \int_{-\infty}^{\infty} \varphi_{xx}(t) e^{-j\omega t} dt$$

$$\varphi_{xy}(t) = \frac{1}{2\pi} \int_{-\infty}^{\infty} \phi_{xy}(j\omega) e^{j\omega t} d\omega \quad \circ \longrightarrow \bullet \quad \phi_{xy}(j\omega) = \int_{-\infty}^{\infty} \varphi_{xy}(t) e^{-j\omega t} dt$$

2.4 Eigenschaften von $\phi(j\omega)$

1. $\phi(j\omega)$ ist reell
2. $\phi(j\omega) \geq 0$
3. $\phi(j\omega) = \phi(-j\omega)$
4. $P = X^2 = \varphi_{xx}(0) = \frac{1}{2\pi} \int_{-\infty}^{\infty} \phi(j\omega) d\omega$
5. $\phi(0) = \int_{-\infty}^{\infty} \varphi_{xx}(\tau) d\tau$

3 Systeme **Skript S.109**

3.1 Begriffe

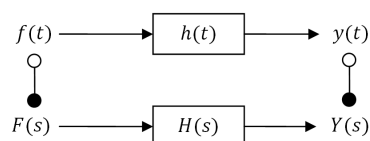
Bezeichnung	Beschreibung	Bedingung, Erkennung
Wirkungsfreiheit Skript S.109	Eingang des System hochohmig	Die Eingänge haben keine Rückwirkung auf die Ausgänge der vorhergehenden Systeme.
Statische bzw. dynamische Systeme Skript S.110,111	Ohne(statisch, resistiv) bzw. mit Gedächtnis	Statisch: der Ausgang hängt direkt vom Eingang zur Zeit t_0 ab. $y(t_0) = f(x(t_0)) \forall t_0$ Dynamisch: $\int dt; \frac{d}{dt}; f(t \pm t_0)$
Kausale bzw. akausale Systeme Skript S.112	Keine zukünftigen Werte bzw. nicht in "Echtzeit"	Kausal: hängt <u>nicht</u> von zukünftigen Werten ab. $f(t - t_0); \int_{-t_0}^t f(\tau) d\tau \quad (t_0 > 0)$ Statische Systeme sind immer kausal. Akausal: hängt von zukünftigen Werten ab. $f(-t); f(t + t_0); \int^{t+t_0} f(\tau) d\tau$
Zeitinvariante bzw. zeitvariante Systeme Skript S.118	Von der Zeit (un-) abhängig	Zeitvariant: $\cos(t)x(t); t^\alpha x(t) \quad (\alpha \neq 0)$ Zeitinvariant: $x(t) \rightarrow y(t)$, dann gilt $x(t - t_0) \rightarrow y(t - t_0) \forall t_0$
Lineare bzw. nichtlineare Systeme Skript S.113		Nichtlinear: $x(t) = 0 \rightarrow y(t) \neq 0 \Rightarrow$ Ausgangssignal, kann Frequenzkomponenten enthalten, welche beim Eingangssignal <u>nicht</u> enthalten sind. Linear: $S(x_1 + x_2) = S(x_1) + S(x_2)$ $S(c \cdot x) = c \cdot S(x) \Rightarrow$ enthält <u>keine</u> neuen Frequenzkomponenten im Ausgangssignal.
Reelle Systeme Skript S.121	ein reelles Eingangssignal bewirkt immer ein reelles Ausgangssignal	
Invertierbare Systeme Skript S.121	bei jedem Ausgangssignal kann eindeutig auf das Eingangssignal geschlossen werden	invertierbar: $y = x^3 \rightarrow x = \sqrt[3]{y}$ nicht invertierbar: $y = x^2 \rightarrow x = \pm \sqrt{y}$

3.2 Übertragungsfunktion von LTI-Systemen **Skript S.108**

$$h(t) \circ \bullet \bullet H(s)$$

$$y(t) = h(t) * f(t) \circ \bullet \bullet Y(s) = H(s)F(s)$$

$h(t)$: Impulsantwort



$H(s)$: Übertragungsfunktion

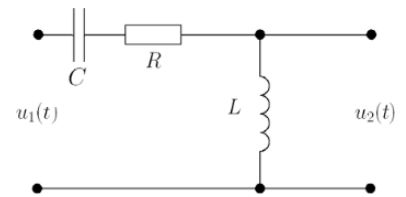
Kaskadierung von wirkungsfreien Systemen: $H_{total}(s) = H_1(s)H_2(s)$ bzw. bei n gleichen Systemen: $H_{total} = (H(s))^n$

Beispiel: Gesucht UTF $H(s) = \frac{Y(s)}{F(s)}$

$$H(s) = \frac{sL}{\frac{1}{sC} + sL + R} = \frac{s^2}{\frac{1}{LC} + s\frac{R}{L} + s^2}$$

$$\Rightarrow \text{Pole bei } s = -\frac{R}{2L} \pm j\sqrt{\frac{1}{LC} - \left(\frac{R}{2L}\right)^2} \quad ; \quad \text{Doppelte Nullstelle bei } s = 0$$

$$\text{Differentialgleichung: } \ddot{y}(t) + \frac{R}{L}\dot{y}(t) + \frac{1}{LC}y = \ddot{x}(t)$$



3.2.1 Bestimmung der UTF

Bauteil Ersatz

R R

L sL

C $\frac{1}{sC}$

3.3 Berechnung des Amplituden- und Phasengangs aus der Übertragungsfunktion

$$H(j\omega) = \frac{Y(j\omega)}{F(j\omega)} = |H(j\omega)|e^{j\Theta(\omega)} = \frac{|Y(j\omega)|}{|F(j\omega)|}e^{j(\arg(Y(j\omega)) - \arg(F(j\omega)))} = \frac{|Y(j\omega)|}{|F(j\omega)|}e^{j[\arctan(\frac{\text{Im}\{Y(j\omega)\}}{\text{Re}\{Y(j\omega)\}}) - \arctan(\frac{\text{Im}\{F(j\omega)\}}{\text{Re}\{F(j\omega)\}})]}$$

$$\text{Phasengang:} \quad \Theta(\omega) = \arctan\left(\frac{\text{Im}(H(j\omega))}{\text{Re}(H(j\omega))}\right)$$

$$\text{Amplitudengang:} \quad |H(j\omega)| = \frac{|Y(j\omega)|}{|F(j\omega)|}$$

3.4 Zusammenhang zwischen Impuls- & Einheitssprungantwort, Endwerte **Skript S.109**

Einheitssprungantwort $g(t)$, Impulsantwort $h(t)$

$$h(t) = \frac{\partial g(t)}{\partial t} \quad \text{bzw.} \quad g(t) = \int_{-\infty}^t h(\tau) d\tau \quad ; \quad \lim_{t \rightarrow \infty} h(t) = \lim_{s \rightarrow 0} sH(s) \quad ; \quad \lim_{t \rightarrow \infty} g(t) = \lim_{s \rightarrow 0} H(s)$$

3.5 Phasen- & Gruppenlaufzeit **Skript S.130**

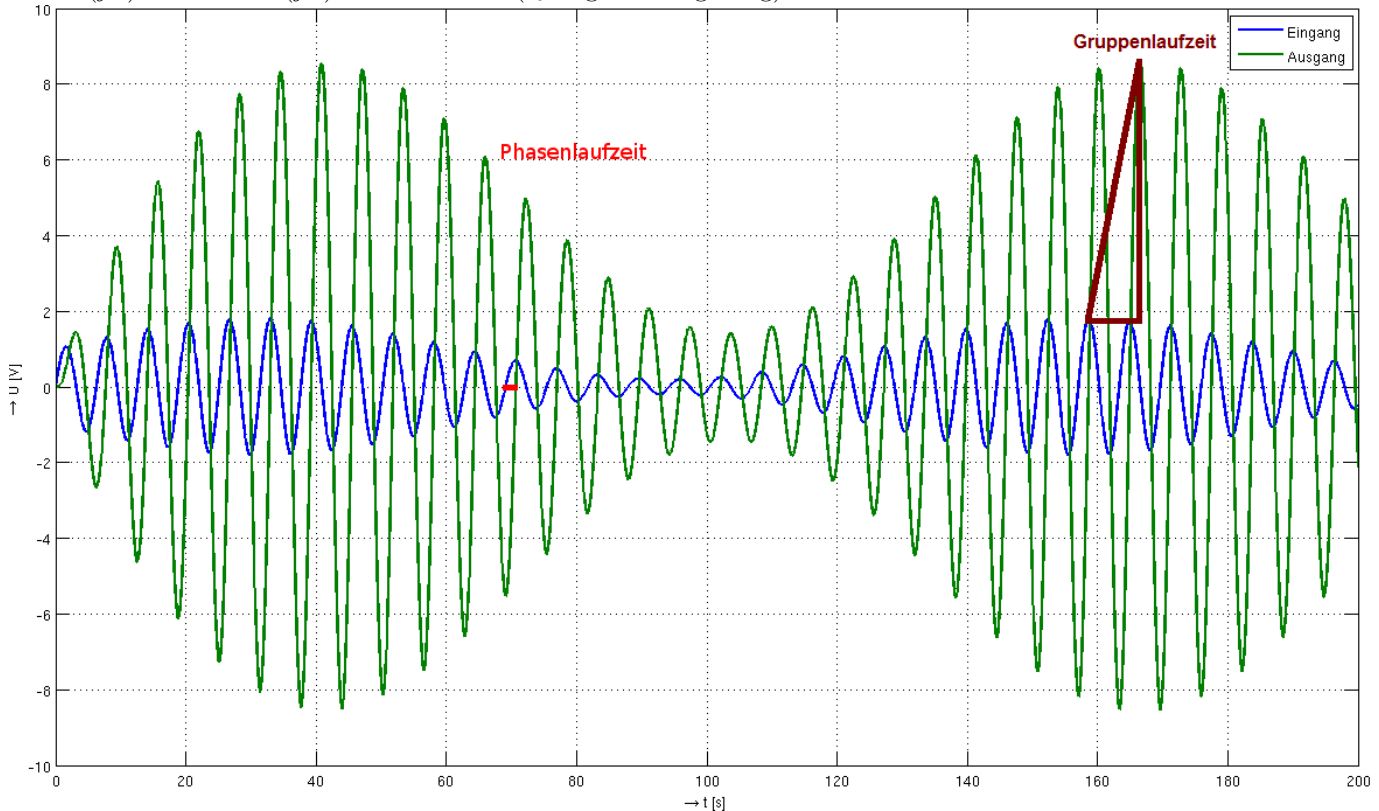
Die **Phasenlaufzeit** (phase delay) ist nur für reine Sinussignale bestimmbar: $\tau_P(\omega) = \frac{-\theta(\omega)}{\omega}$

Die **Gruppenlaufzeit** (groupe delay) hingegen ist für sämtliche Signale möglich: $\tau_G(\omega) = -\frac{\partial\theta(\omega)}{\partial\omega}$

Die Signalverzögerung, Phasenlaufzeit $\tau_P(\omega)$ und Gruppenlaufzeit $\tau_G(\omega)$ sind gleich wenn,

$$\theta(\omega) = -\omega t_0$$

und $H(j\omega)$ die Form $H(j\omega) = a \cdot e^{j\omega t_0}$ hat (t_0 : Signalverzögerung).



Eingangssignal $x(t)$ und Ausgangssignal $y(t)$ des Systems $H(s) = \frac{1}{s^2 + 0.2s + 1}$. Bemerkung: $y(t)$ ist grösser als $x(t)$.

3.6 Stabilität von LTI-Systemen **Skript S.125**

3.6.1 BIBO-Stabilität **Skript S.125**

Ein System ist BIBO-stabil (Bounded Input Bounded Output), wenn auf jedes beschränkte Eingangssignal das Ausgangssignal ebenfalls beschränkt ist. $|u_{in}(t)| < A \rightarrow |u_{out}(t)| < B$ mit $0 < A, B \in \mathbb{N} < \infty$

$$\int_{-\infty}^{\infty} |h(t)| dt < \infty$$

3.6.2 Asymptotische Stabilität **Skript S.126**

Stabil: $\lim_{t \rightarrow \infty} h(t) = 0$ Pole **nur** in der linken s-Halbebene.

Instabil: Mind. ein Pol in der rechten s-Halbebene oder mind. ein **mehrfacher** Pol auf der j -Achse der s-Ebene.

Grenzstabil: mindestens ein **einfacher** Pol, aber **kein mehrfach** Pol auf der j -Achse und **kein** Pol auf der **rechten** s-Halbebene

3.6.3 Stabilität mit Hurwitz-Polynom **Skript S.127**

Es wird jeweils das Polynom im **Nenner der Übertragungsfunktion** betrachtet: $P(s) = a_n s^n + a_{n-1} s^{n-1} + \dots + a_1 s + a_0$. Ist ein solches Polynom ein Hurwitz-Polynom, so ist das System **asymptotisch stabil**. Handelt es sich um ein **modifiziertes Hurwitz-Polynom** so ergibt es ein **grenzstabiles** System.

$P(s)$ ist nur dann ein Hurwitz-Polynom, wenn folgende Bedingungen erfüllt sind:

1. alle Koeffizienten a_i von $P(s)$ sind grösser als Null (und sind vorhanden).
(bei einem Polynom 2.Ordnung ist es instabil, wenn min. 1 Koeffizient negativ ist)
2. alle Hurwitz-Determinanten D_1 bis D_n sind grösser als Null

$$\begin{aligned}
 D_1 &= a_{n-1} > 0 \\
 D_2 &= \begin{vmatrix} a_{n-1} & a_n \\ a_{n-3} & a_{n-2} \end{vmatrix} > 0 \\
 &\vdots \\
 D_{n-1} &= \begin{vmatrix} a_{n-1} & a_n & 0 & 0 & \cdots & 0 \\ a_{n-3} & a_{n-2} & a_{n-1} & a_n & 0 & 0 \\ a_{n-5} & a_{n-4} & a_{n-3} & a_{n-2} & \cdots & 0 \\ \vdots & \vdots & \vdots & \vdots & \ddots & 0 \\ 0 & 0 & 0 & \vdots & 0 & a_1 \end{vmatrix} > 0 \\
 D_n &= a_0 D_{n-1} > 0
 \end{aligned}$$

Modifiziertes Hurwitz-Polynom

Nebst allen $a_i \geq 0$ müssen alle Hurwitz-Determinanten $D_1, D_2, \dots, D_{n-2} > 0$ und $D_{n-1} = D_n = 0$ sein.

N	$P(s)$ ist ein Hurwitz-Polynom (stabil)	$P(s)$ ist ein modifiziertes Hurwitz-Polynom (grenzstabil)
1	gilt für alle $P(s)$	$a_0 = 0$
2	gilt für alle $P(s)$	$a_1 = 0$
3	$a_1 a_2 > a_0 a_3$	$a_1 a_2 = a_0 a_3$
4	$a_3(a_1 a_2 - a_0 a_3) > a_1^2 a_4$	$a_3(a_1 a_2 - a_0 a_3) = a_1^2 a_4$
5	$a_3 a_4 > a_2 a_5$ und $(a_1 a_2 - a_0 a_3)(a_3 a_4 - a_2 a_5) > (a_1 a_4 - a_0 a_5)^2$	$a_3 a_4 = a_2 a_5$ $(a_1 a_2 - a_0 a_3)(a_3 a_4 - a_2 a_5) = (a_1 a_4 - a_0 a_5)^2$

- Wenn **ein Koeffizient negativ** ist ($a_x < 0$), dann ist das System **instabil**.
- Wenn **alle Koeffizienten negativ** sind, kann -1 ausgeklammert werden und in den Zähler verschoben werden
⇒ **System stabil** oder **grenzstabil** (siehe Punkt 3)
- Wenn **ein Koeffizient nicht vorhanden** ist ($a_x = 0$), dann ist das System evtl. grenzstabil, d.h. es ist eine **Überprüfung mit modifiziertem Hurwitz-Polynom** nötig.

3.7 Klirrfaktor **Skript S.137**

Als Mass für nichtlineare Verzerrungen gilt der *Klirrfaktor*. Betrachtet wird jeweils der Effektivwert am Ausgang

$$k = \sqrt{\frac{U_2^2 + U_3^2 + \dots + U_n^2}{U_1^2 + U_2^2 + \dots + U_n^2}} \quad 0 \leq k \leq 1$$

Teilkirrfaktor (frequenzselektiv) $k_m = \frac{U_m}{\sqrt{U_1^2 + U_2^2 + \dots + U_n^2}}$

Klirrdämpfungsmass $a_k = 20 \log\left(\frac{1}{k}\right)$

Teilkirrdämpfungsmass $a_k = 20 \log\left(\frac{1}{k_m}\right)$

3.8 Total Harmonic Distortion (THD) **Skript S.137**

$$\text{THD} = \sqrt{\frac{U_2^2 + U_3^2 + \dots + U_n^2}{U_1^2}} \quad \infty > \text{THD} \geq k \geq 0; \quad \text{Für kleine Verzerrungen: THD} \approx k$$

3.9 Verzerrungsfreie Übertragung von Signalen **Skript S.138**

Bedingungen für eine verzerrungsfreie Übertragung:

1. Amplitude: konstant (unabhängig von der Frequenz) $\leftrightarrow |H(j\omega)| = \text{konstant} = a \neq 0$
2. Phase: proportional zur Frequenz $\leftrightarrow \Theta(\omega) = -\omega t_0$

3.10 Übertragung von stochastischen Signalen **Skript S.141**

lineare Mittelwert Y_0 :	$Y(j0) = X(j0) \cdot H(j0) \rightarrow Y_0 = X_0 \cdot H(j0)$
Autokorrelation:	$\varphi_{yy}(\tau) = \int_{-\infty}^{\infty} \int_{-\infty}^{\infty} h(\alpha)h(\beta)\varphi_{xx}(\tau + \alpha - \beta)d\alpha d\beta = h(-\tau) * h(\tau) * \varphi_{xx}(\tau)$ $\varphi_{yy}(\tau) = \frac{1}{2\pi} \int_{-\infty}^{\infty} H(j\omega) ^2 \phi_{xx}(j\omega) e^{j\omega\tau} d\omega$
Leistungsdichtespektrum:	$\phi_{yy}(j\omega) = H(j\omega) ^2 \phi_{xx}(j\omega)$
Leistung:	$Y^2 = \varphi_{yy}(0) = \frac{1}{2\pi} \int_{-\infty}^{\infty} H(j\omega) ^2 \phi_{xx}(j\omega) d\omega$
Kreuzkorrelation:	$\varphi_{xy}(\tau) = h(\tau) * \varphi_{xx}(\tau) \circ \bullet \phi_{xy} = H(j\omega) \cdot \phi_{xx}(j\omega)$ $\varphi_{yx}(\tau) = h(-\tau) * \varphi_{xx}(\tau) \circ \bullet \phi_{yx} = H^*(j\omega) \cdot \phi_{xx}(j\omega)$ $\varphi_{yx}(\tau) = \varphi_{xy}(-\tau) \circ \bullet \phi_{yx}(j\omega) = \phi_{xy}(-j\omega) = \phi_{xy}^*(j\omega)$

4 Idiotenseite

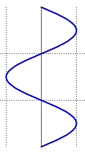



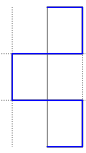
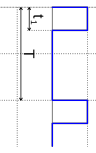
4.2 Ableitungen elementarer Funktionen S436

Funktion	Ableitung	Funktion	Ableitung
C (Konstante)	0	$\sec x$	$\frac{\sin x}{\cos^2 x}$
x	1	$\sec^{-1} x$	$\frac{-\cos x}{\sin^2 x}$
x^n ($n \in \mathbb{R}$)	nx^{n-1}	$\arcsin x$ ($ x < 1$)	$\frac{1}{\sqrt{1-x^2}}$
$\frac{1}{x}$	$-\frac{1}{x^2}$	$\arccos x$ ($ x < 1$)	$-\frac{1}{\sqrt{1-x^2}}$
$\frac{1}{x^n}$	$-\frac{n}{x^{n+1}}$	$\arctan x$	$\frac{1}{1+x^2}$
\sqrt{x}	$\frac{1}{2\sqrt{x}}$	$\operatorname{arccot} x$	$-\frac{1}{1+x^2}$
$\sqrt[n]{x}$ ($n \in \mathbb{R}, n \neq 0, x > 0$)	$\frac{1}{n\sqrt[n]{x^{n-1}}}$	$\operatorname{arcsec} x$	$\frac{1}{x\sqrt{x^2-1}}$
e^x	e^x	$\operatorname{arcossec} x$	$-\frac{1}{x\sqrt{x^2-1}}$
e^{bx} ($b \in \mathbb{R}$)	be^{bx}	$\sinh x$	$\cosh x$
a^x ($a > 0$)	$a^x \ln a$	$\cosh x$	$\sinh x$
a^{bx} ($b \in \mathbb{R}, a > 0$)	$ba^{bx} \ln a$	$\tanh x$	$\frac{1}{\cosh^2 x}$
$\ln x$	$\frac{1}{x}$	$\coth x$ ($x \neq 0$)	$-\frac{1}{\sinh^2 x}$
$\log_a x$ ($a > 0, a \neq 1, x > 0$)	$\frac{1}{x} \log_a e = \frac{1}{x \ln a}$	$\operatorname{Arsinh} x$	$\frac{1}{\sqrt{1+x^2}}$
$\lg x$ ($x > 0$)	$\frac{1}{x} \lg e \approx \frac{0.4343}{x}$	$\operatorname{Arcosh} x$ ($x > 1$)	$\frac{1}{\sqrt{x^2-1}}$
$\sin x$	$\cos x$	$\operatorname{Artanh} x$ ($ x < 1$)	$\frac{1}{1-x^2}$
$\cos x$	$-\sin x$	$\operatorname{Arcoth} x$ ($ x > 1$)	$-\frac{1}{x^2-1}$
$\tan x$ ($x \neq (2k+1)\frac{\pi}{2}, k \in \mathbb{Z}$)	$\frac{1}{\cos^2 x} = \sec^2 x$	$[f(x)]^n$ ($n \in \mathbb{R}$)	$n[f(x)]^{n-1} f'(x)$
$\cot x$ ($x \neq k\pi, k \in \mathbb{Z}$)	$\frac{-1}{\sin^2 x} = -\operatorname{cosec}^2 x$	$\ln f(x)$ ($f(x) > 0$)	$\frac{f'(x)}{f(x)}$

4.1 Einige unbestimmte Integrale S1074

$\int dx = x + C$	$\int x^\alpha dx = \frac{x^{\alpha+1}}{\alpha+1} + C, x \in \mathbb{R}^+, \alpha \in \mathbb{R} \setminus \{-1\}$
$\int \frac{1}{x} dx = \ln x + C, x \neq 0$	$\int e^x dx = e^x + C$
$\int a^x dx = \frac{a^x}{\ln a} + C, a \in \mathbb{R}^+ \setminus \{1\}$	$\int \sin x dx = -\cos x + C$
$\int \cos x dx = \sin x + C$	$\int \frac{dx}{\sin^2 x} = -\cot x + C, x \neq k\pi \text{ mit } k \in \mathbb{Z}$
$\int \frac{dx}{\cos^2 x} = \tan x + C, x \neq \frac{\pi}{2} + k\pi \text{ mit } k \in \mathbb{Z}$	$\int \sinh x dx = \cosh x + C$
$\int \cosh x dx = \sinh x + C$	$\int \frac{dx}{\sinh^2 x} = -\coth x + C, x \neq 0$
$\int \frac{dx}{\cosh^2 x} = \tanh x + C$	$\int \frac{dx}{ax+b} = \frac{1}{a} \ln ax+b + C, a \neq 0, x \neq -\frac{b}{a}$
$\int \frac{dx}{a^2x^2+b^2} = \frac{1}{ab} \arctan \frac{a}{b}x + C, a \neq 0, b \neq 0$	$\int \frac{dx}{a^2x^2-b^2} = \frac{1}{2ab} \ln \left \frac{ax-b}{ax+b} \right + C, a \neq 0, b \neq 0, x \neq \frac{b}{a}, x \neq -\frac{b}{a}$
$\int \sqrt{a^2x^2+b^2} dx = \frac{x}{2} \sqrt{a^2x^2+b^2} + \frac{b^2}{2a} \ln(ax + \sqrt{a^2x^2+b^2}) + C, a \neq 0, b \neq 0$	$\int \sqrt{a^2x^2-b^2} dx = \frac{x}{2} \sqrt{a^2x^2-b^2} - \frac{b^2}{2a} \ln ax + \sqrt{a^2x^2-b^2} + C, a \neq 0, b \neq 0, a^2x^2 \geq b^2$
$\int \sqrt{b^2-a^2x^2} dx = \frac{x}{2} \sqrt{b^2-a^2x^2} + \frac{b^2}{2a} \arcsin \frac{a}{b}x + C, a \neq 0, b \neq 0, a^2x^2 \leq b^2$	$\int \frac{dx}{\sqrt{a^2x^2-b^2}} = \frac{1}{a} \ln(ax + \sqrt{a^2x^2+b^2}) + C, a \neq 0, b \neq 0$
$\int \frac{dx}{\sqrt{a^2x^2-b^2}} = \frac{1}{a} \ln ax + \sqrt{a^2x^2-b^2} + C, a \neq 0, b \neq 0, a^2x^2 > b^2$	$\int \frac{dx}{\sqrt{b^2-a^2x^2}} = \frac{1}{a} \arcsin \frac{a}{b}x + C, a \neq 0, b \neq 0, a^2x^2 < b^2$
Die Integrale $\int \frac{dx}{X}, \int \sqrt{X} dx, \int \frac{dx}{\sqrt{X}}$ mit $X = ax^2 + 2bx + c, a \neq 0$ werden durch die Umformung $X = a(x + \frac{b}{a})^2 + (c - \frac{b^2}{a})$ und die Substitution $t = x + \frac{b}{a}$ in die oberen 4 Zeilen transformiert.	$\int \frac{xdx}{X} = \frac{1}{2a} \ln X - \frac{b}{a} \int \frac{dx}{X}, a \neq 0, X = ax^2 + 2bx + c$
$\int \sin^2 ax dx = \frac{x}{2} - \frac{1}{4a} \cdot \sin 2ax + C, a \neq 0$	$\int \cos^2 ax dx = \frac{x}{2} + \frac{1}{4a} \cdot \sin 2ax + C, a \neq 0$
$\int \sin^n ax dx = -\frac{\sin^{n-1} ax \cos ax}{na} + \frac{n-1}{n} \int \sin^{n-2} ax dx, n \in \mathbb{N}, a \neq 0$	$\int \cos^n ax dx = \frac{\cos^{n-1} ax \sin ax}{na} + \frac{n-1}{n} \int \cos^{n-2} ax dx, n \in \mathbb{N}, a \neq 0$
$\int \frac{dx}{\sin ax} = \frac{1}{a} \ln \left \tan \frac{ax}{2} \right + C, a \neq 0, x \neq k\frac{\pi}{a} \text{ mit } k \in \mathbb{Z}$	$\int \frac{dx}{\cos ax} = \frac{1}{a} \ln \left \tan \left(\frac{ax}{2} + \frac{\pi}{4} \right) \right + C, a \neq 0, x \neq \frac{\pi}{2a} + k\frac{\pi}{a} \text{ mit } k \in \mathbb{Z}$
$\int \tan ax dx = -\frac{1}{a} \ln \cos ax + C, a \neq 0, x \neq \frac{\pi}{2a} + k\frac{\pi}{a} \text{ mit } k \in \mathbb{Z}$	$\int \cot ax dx = \frac{1}{a} \ln \sin ax + C, a \neq 0, x \neq k\frac{\pi}{a} \text{ mit } k \in \mathbb{Z}$
$\int x^n \sin ax dx = -\frac{x^n}{a} \cos ax + \frac{n}{a} \int x^{n-1} \cos ax dx, n \in \mathbb{N}, a \neq 0$	$\int x^n \cos ax dx = \frac{x^n}{a} \sin ax - \frac{n}{a} \int x^{n-1} \sin ax dx, n \in \mathbb{N}, a \neq 0$
$\int x^n e^{ax} dx = \frac{1}{a} x^n e^{ax} - \frac{n}{a} \int x^{n-1} e^{ax} dx, n \in \mathbb{N}, a \neq 0$	$\int e^{ax} \sin bxdx = \frac{e^{ax}}{a^2+b^2} (a \sin bx - b \cos bx) + C, a \neq 0, b \neq 0$
$\int e^{ax} \cos bxdx = \frac{e^{ax}}{a^2+b^2} (a \cos bx + b \sin bx) + C, a \neq 0, b \neq 0$	$\int \ln x dx = x(\ln x - 1) + C, x \in \mathbb{R}^+$
$\int x^\alpha \cdot \ln x dx = \frac{x^{\alpha+1}}{(\alpha+1)^2} [(\alpha+1) \ln x - 1] + C, x \in \mathbb{R}^+, \alpha \in \mathbb{R} \setminus \{-1\}$	

4.3 Eigenschaften unterschiedlicher Schwingungsformen

Schwingungsform	Funktion	Gleichrichtwert	Formfaktor	Effektivwert	Scheitelfaktor	X_0	X^2	var(X)
	$A \cdot \sin(t)$	$\overline{ x } = \frac{1}{T} \int_0^T x(t) dt$ $\frac{2}{\pi} \approx 0.637$	$\frac{\overline{X}}{ x }$ $\frac{\pi}{2\sqrt{2}} \approx 1.11$	$X = \sqrt{X^2} = \sqrt{\frac{1}{T} \int_{t_0}^{t_0+T} x^2(t) dt}$ $\frac{1}{\sqrt{2}} \approx 0.707$	$k_s = \frac{X_{\max}}{X_{\text{eff}}}$ $\sqrt{2} \approx 1.414$	0	$\frac{A^2}{2}$	$\frac{A^2}{2}$
	$A \cdot \sin(t) $	$\frac{2}{\pi} \approx 0.637$	$\frac{\pi}{2\sqrt{2}} \approx 1.11$	$\frac{1}{\sqrt{2}} \approx 0.707$	$\sqrt{2} \approx 1.414$	$\frac{2A}{\pi}$	$\frac{A^2}{2}$	$\frac{A^2}{2} - \frac{4A^2}{\pi^2}$
	$\begin{cases} A \cdot \sin(t) & 0 < t < \pi \\ 0 & \text{True} \end{cases}$	$\frac{1}{\pi} \approx 0.318$	$\frac{\pi}{2} \approx 1.571$	$\frac{1}{2} = 0.5$	2	$\frac{A}{\pi}$	$\frac{A^2}{4}$	$\frac{A^2}{4} - \frac{A^2}{\pi^2}$
	$A \cdot \Lambda(t)$	$\frac{1}{2} = 0.5$	$\frac{2}{\sqrt{3}} \approx 1.155$	$\frac{1}{\sqrt{3}} \approx 0.557$	$\sqrt{3} \approx 1.732$	0	$\frac{A^2}{3}$	$\frac{A^2}{3}$
	$\begin{cases} A & 0 < x < t \\ 0 & \text{True} \end{cases}$	1	1	1	1	0	A^2	A^2
DC	1	1	1	1	1	-	-	-
		$\frac{t_1}{T}$	$\sqrt{\frac{T}{t_1}}$	$\sqrt{\frac{t_1}{T}}$	$\sqrt{\frac{T}{t_1}}$	$A \frac{t_1}{T}$	$A^2 \frac{t_1}{T}$	$\frac{A^2 t_1}{T} - \frac{A^2 t_1^2}{T^2}$

Anhang zum Kapitel 2

2.A Tabelle von Fourier-Transformationspaaren

Die Fourier-Transformationspaare sind zum Teil von [6, 47, 69] entnommen. Es gilt jeweils: $0 < (\alpha, \beta, t_0, \omega_0, A) \in \mathbb{R}, n \in \mathbb{N}$.

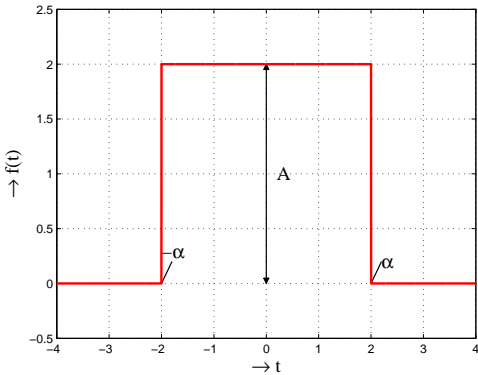
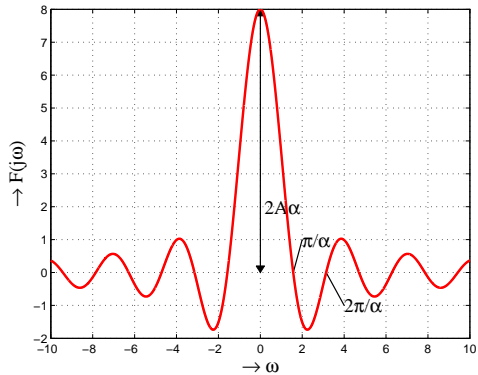
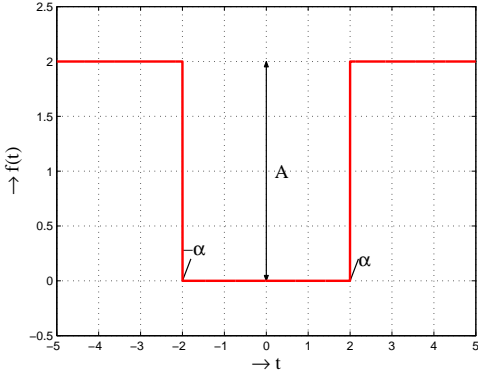
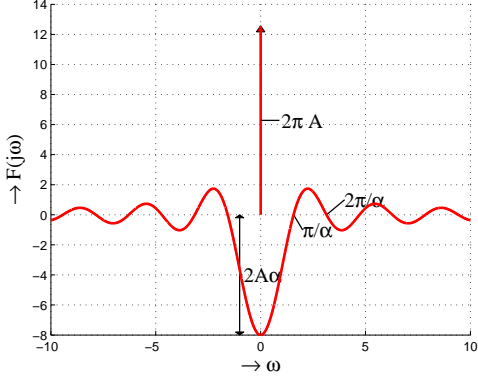
#	Zeitfunktion: $f(t)$	Spektralfunktion: $F(j\omega)$
1	$A \cdot p_\alpha(t) = \begin{cases} A & \text{für } t < \alpha, \\ \frac{A}{2} & \text{für } t = \alpha, \\ 0 & \text{für } t > \alpha. \end{cases}$ 	$\frac{2A}{\omega} \sin(\alpha\omega) = 2A\alpha \cdot \text{sinc}(\alpha\omega)$ 
3	$A(1 - p_\alpha(t)) = \begin{cases} 0 & \text{für } t < \alpha, \\ \frac{A}{2} & \text{für } t = \alpha, \\ A & \text{für } t > \alpha. \end{cases}$ 	$2 \cdot \pi \cdot A \delta(\omega) - 2A\alpha \cdot \text{sinc}(\alpha\omega)$ 

Tabelle 2.3: Fourier-Transformationspaare

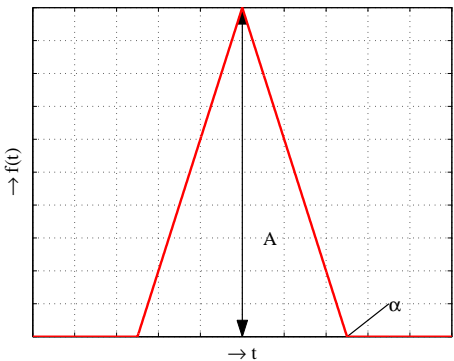
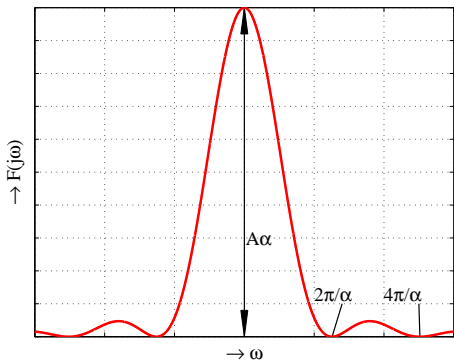
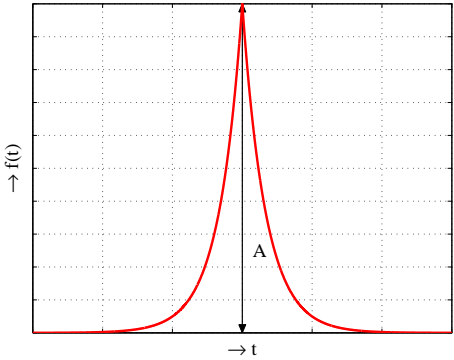
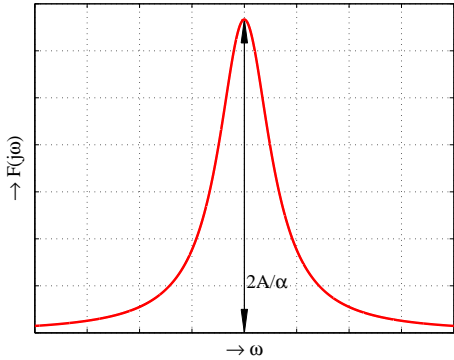
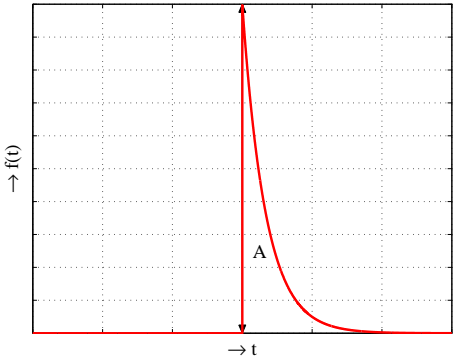
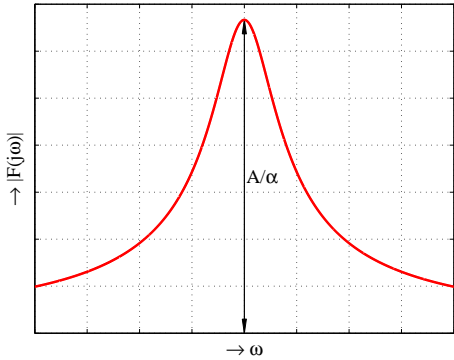
#	Zeitfunktion: $f(t)$	Spektralfunktion: $F(j\omega)$
4	$A \cdot \Lambda_\alpha(t) = \begin{cases} A - \frac{A t }{\alpha} & \text{für } t < \alpha, \\ 0 & \text{für } t \geq \alpha. \end{cases}$ 	$A\alpha \cdot \left(\frac{\sin(\frac{\alpha\omega}{2})}{\frac{\alpha\omega}{2}} \right)^2 = A\alpha \cdot \left(\text{sinc}\left(\frac{\alpha\omega}{2}\right) \right)^2$ 
5	$Ae^{-\alpha t }$ 	$\frac{2\alpha A}{\alpha^2 + \omega^2}$ 
6	$Ae^{-\alpha t}u(t)$ 	$A \frac{\alpha - j\omega}{\alpha^2 + \omega^2} = \frac{A}{\alpha + j\omega}$ 

Tabelle 2.4: Fourier-Transformationspaare

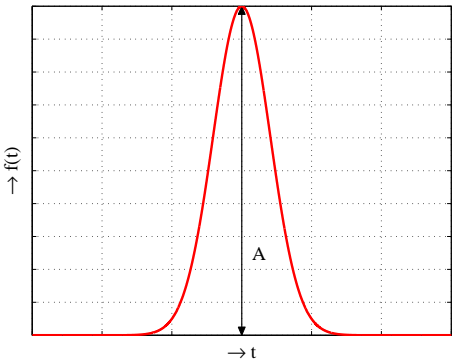
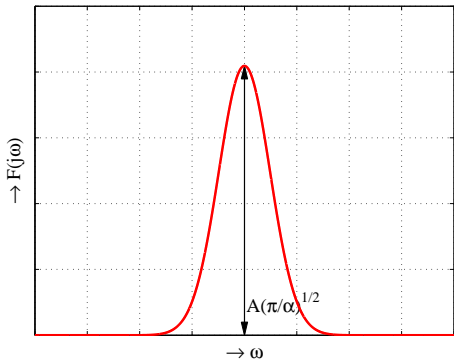
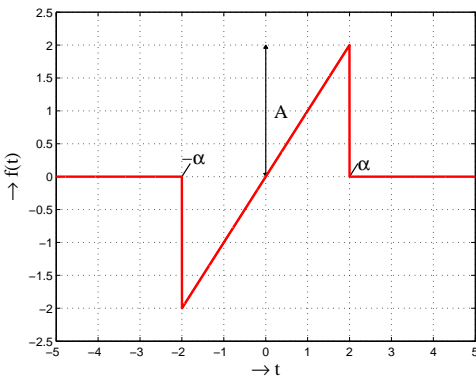
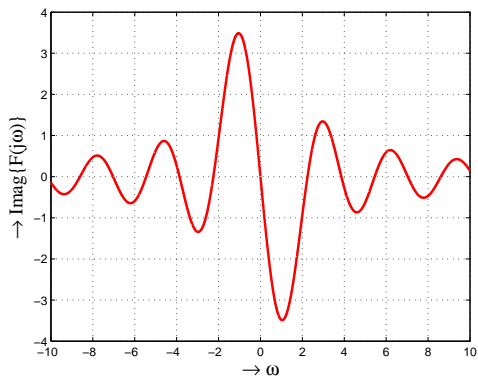
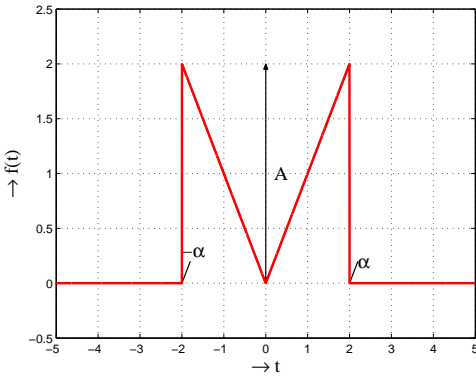
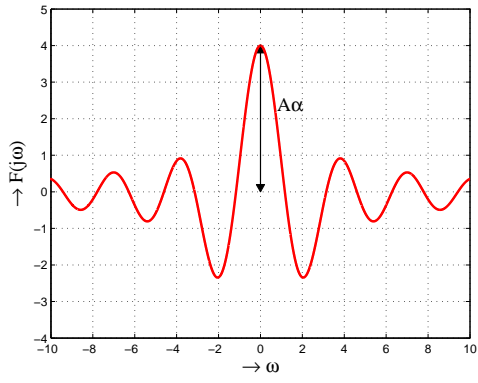
#	Zeitfunktion: $f(t)$	Spektralfunktion: $F(j\omega)$
7	$Ae^{-\alpha t^2}$ 	$A\sqrt{\frac{\pi}{\alpha}}e^{-\frac{\omega^2}{4\alpha}}$ 
8	$e^{-\alpha t^2 + \beta t}$	$\sqrt{\frac{\pi}{\alpha}}e^{\frac{\beta^2 - j2\alpha\beta\omega - \omega^2}{4\alpha}}$
9	$e^{\pm j\alpha t^2}$	$\sqrt{\frac{\pi}{\alpha}}e^{\mp j\frac{\omega^2 - \alpha\pi}{4\alpha}}$
10	$\frac{1}{t}\sin(\alpha t) = \text{sinc}_\alpha(t)$	$\pi \cdot p_\alpha(\omega)$
11	$\text{sinc}(\alpha t)$	$\frac{\pi}{\alpha} \cdot p_\alpha(\omega)$
12	$\frac{A \cdot t}{\alpha} \cdot p_\alpha(t)$ 	$j\frac{2A}{\omega} \left(\cos(\omega\alpha) - \frac{\sin(\omega\alpha)}{\omega\alpha} \right)$ 
13	$\frac{A \cdot t }{\alpha} \cdot p_\alpha(t)$ 	$2A\alpha \left(\frac{\sin(\omega\alpha)}{\omega\alpha} - 2 \left(\frac{\sin(\frac{\omega\alpha}{2})}{\omega\alpha} \right)^2 \right)$ 

Tabelle 2.5: Fourier-Transformationspaare

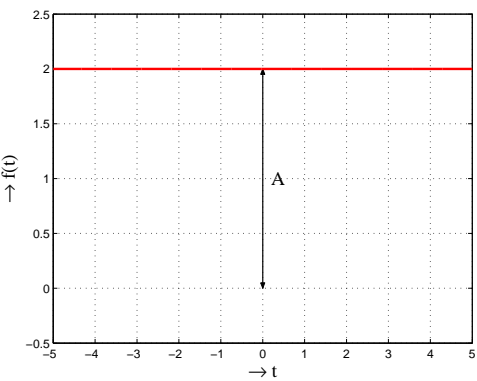
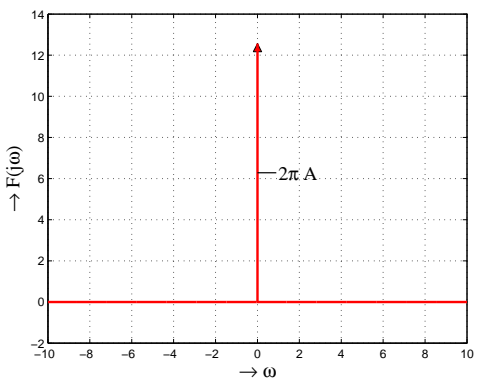
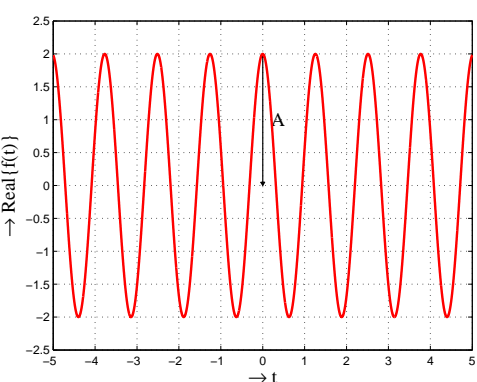
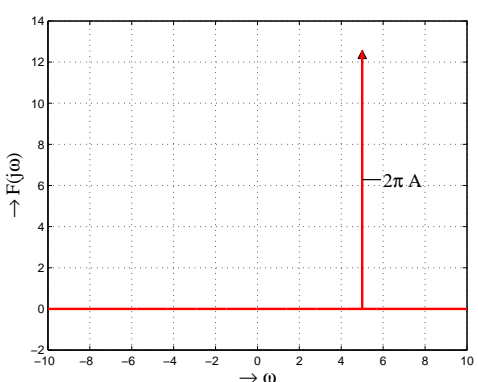
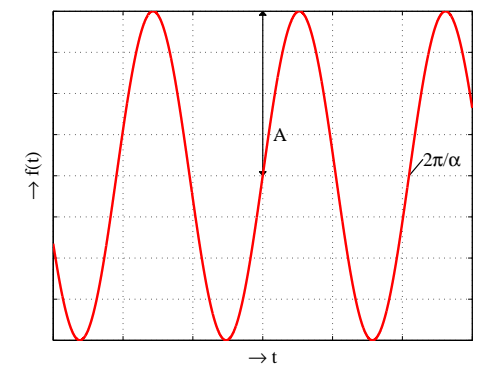
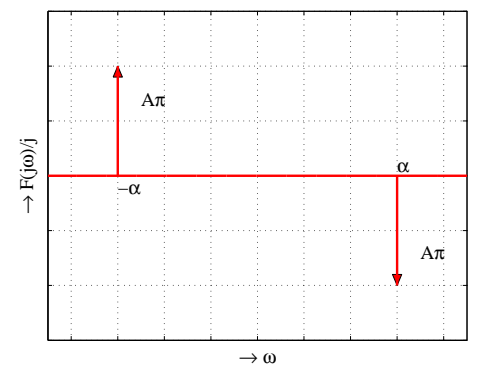
#	Zeitfunktion: $f(t)$	Spektralfunktion: $F(j\omega)$
14	$\left(\frac{1}{t} \sin(\alpha t)\right)^2 = (\text{sinc}_\alpha(t))^2$	$\frac{\pi}{2} \cdot (2\alpha - \omega) \cdot p_{2\alpha}(\omega) = \pi\alpha \cdot \Lambda_{2\alpha}(\omega)$
15	$\frac{1}{ t } \sin(\alpha t)$	$-j \cdot \text{sgn}(\omega) \ln \left \frac{ \omega + \alpha}{ \omega - \alpha} \right $
16	<p>A</p> 	<p>$2\pi \cdot A \cdot \delta(\omega)$</p> 
17	<p>$A \cdot e^{j\omega_0 t}$</p> 	<p>$2\pi A \cdot \delta(\omega - \omega_0)$</p> 
18	$\delta(t - \beta)$	$e^{-j\beta\omega}$
19	<p>$A \sin(\alpha t)$</p> 	

Tabelle 2.6: Fourier-Transformationspaare

#	Zeitfunktion: $f(t)$	Spektralfunktion: $F(j\omega)$
20	$A \sin(\omega_0 t) p_\alpha(t)$	$jA \left(\frac{\sin(\alpha(\omega + \omega_0))}{\omega + \omega_0} - \frac{\sin(\alpha(\omega - \omega_0))}{\omega - \omega_0} \right)$
21	$A (\sin(\alpha t))^2$	$\frac{A\pi}{2} [-\delta(\omega + 2\alpha) + 2\delta(\omega) - \delta(\omega - 2\alpha)]$
22	$A \cos(\alpha t)$	$A\pi [\delta(\omega + \alpha) + \delta(\omega - \alpha)]$
23	$A \cdot \sin(\omega_0 t) e^{-at} u(t)$	$\frac{A\omega_0}{a^2 + \omega_0^2 - \omega^2 + j2a\omega} = \frac{A\omega_0}{(a + j\omega)^2 + \omega_0^2}$
24	$A \cdot \cos(\omega_0 t) e^{-at} u(t)$	$\frac{A(a + j\omega)}{(a + j\omega)^2 + \omega_0^2}$

Tabelle 2.7: Fourier-Transformationspaare

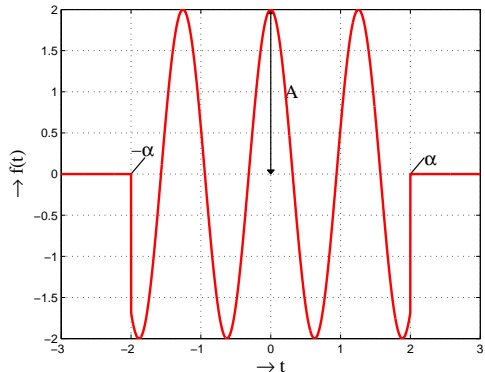
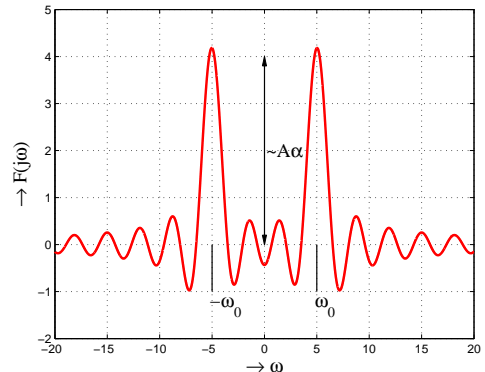
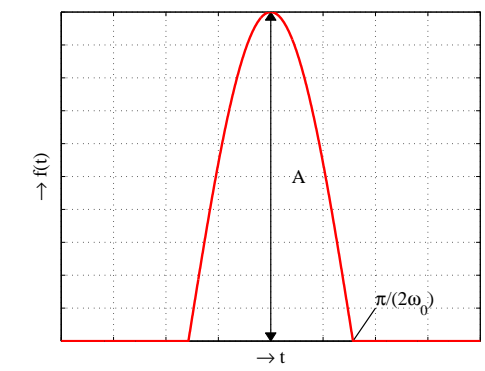
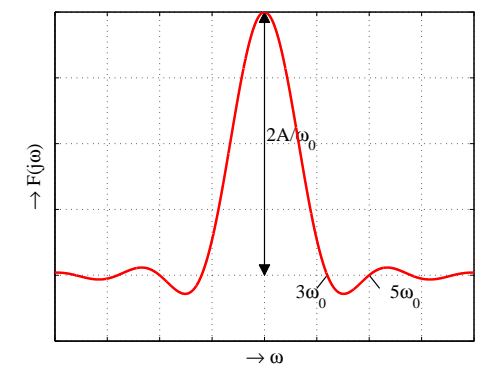
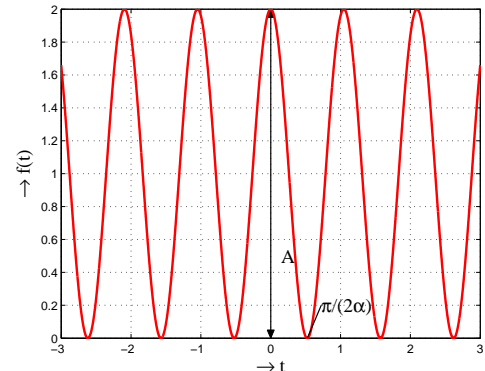
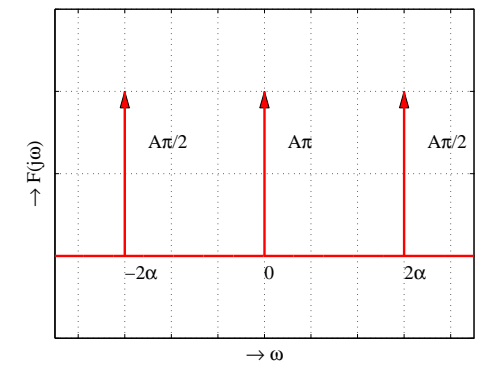
#	Zeitfunktion: $f(t)$	Spektralfunktion: $F(j\omega)$
25	$A \cos(\omega_0 t) p_\alpha(t)$ 	$A \left(\frac{\sin(\alpha(\omega + \omega_0))}{\omega + \omega_0} + \frac{\sin(\alpha(\omega - \omega_0))}{\omega - \omega_0} \right)$ 
26	$A \cos(\omega_0 t) p_{\frac{\pi}{2\omega_0}}(t)$ 	$A \frac{2\omega_0}{\omega_0^2 - \omega^2} \cos\left(\frac{\pi\omega}{2\omega_0}\right)$ 
27	$A (\cos(\alpha t))^2$ 	$\frac{A\pi}{2} [\delta(\omega + 2\alpha) + 2\delta(\omega) + \delta(\omega - 2\alpha)]$ 
28	$\sin(\alpha t^2)$	$-\sqrt{\frac{\pi}{\alpha}} \sin\left(\frac{\omega^2 - \alpha\pi}{4\alpha}\right)$
29	$\cos(\alpha t^2)$	$\sqrt{\frac{\pi}{\alpha}} \cos\left(\frac{\omega^2 - \alpha\pi}{4\alpha}\right)$

Tabelle 2.8: Fourier-Transformationspaare

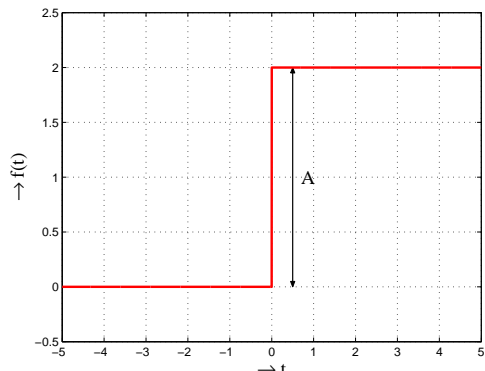
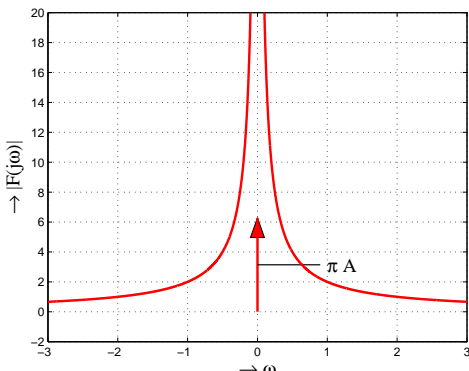
#	Zeitfunktion: $f(t)$	Spektralfunktion: $F(j\omega)$
30	$A \cdot u(t)$ 	$A \cdot \left(\pi \cdot \delta(\omega) - j \frac{1}{\omega} \right)$ 
31	$\frac{1}{t}$	$j\pi \operatorname{sgn}(\omega)$
32	t^{-n}	$-j\pi \frac{(-j\omega)^{n-1}}{(n-1)!} \operatorname{sgn}(\omega)$
33	$ t $	$-\frac{2}{\omega^2}$
34	$r(t) = t \cdot u(t)$	$j\pi \frac{d\delta(\omega)}{d\omega} - \frac{1}{\omega^2}$
35	$A \cdot \operatorname{sgn}(t)$	$\frac{-2jA}{\omega}$
36	$t^{-n} \operatorname{sgn}(t)$	$(-j)^{n+1} \frac{2 \cdot n!}{\omega^{n+1}}$
37	$\sqrt{ t }$	$-\sqrt{\frac{2\pi}{ \omega }}$
38	$A \cdot \sum_{n=-\infty}^{\infty} \delta(t - n \cdot t_0)$	$\frac{2\pi A}{t_0} \cdot \sum_{n=-\infty}^{\infty} \delta(\omega - n \cdot \frac{2\pi}{t_0})$
39	$A \cdot \sum_{n=-\infty}^{\infty} \delta(t - n \cdot t_0 - \frac{t_0}{2})$	$\frac{2\pi A}{t_0} \cdot \sum_{n=-\infty}^{\infty} (-1)^n \delta(\omega - n \cdot \frac{2\pi}{t_0})$
40	$A \cdot \sum_{n=0}^{N-1} \delta(t - n \cdot t_0 - \beta + \frac{(N-1)t_0}{2})$	$A e^{j\beta\omega} \frac{\sin(N\omega t_0/2)}{\sin(\omega t_0/2)}$
41	$\sum_{n=-\infty}^{\infty} \delta(t - n \cdot t_0) (A + \alpha \cos(\omega_0 t))$	$\frac{2\pi}{t_0} \cdot \sum_{n=-\infty}^{\infty} \left(A \delta(\omega - n \frac{2\pi}{t_0}) + \frac{\alpha}{2} \left(\delta(\omega - n \frac{2\pi}{t_0} + \omega_0) + \delta(\omega - n \frac{2\pi}{t_0} - \omega_0) \right) \right)$
42	$\sum_{n=-\infty}^{\infty} \delta(t - n \cdot t_0) (A + \alpha \sin(\omega_0 t))$	$\frac{2\pi}{t_0} \cdot \sum_{n=-\infty}^{\infty} \left(A \delta(\omega - n \frac{2\pi}{t_0}) + \frac{j\alpha}{2} \left(\delta(\omega - n \frac{2\pi}{t_0} + \omega_0) - \delta(\omega - n \frac{2\pi}{t_0} - \omega_0) \right) \right)$
43	$A \delta(t)$	A
44	$A \delta(t - t_0)$	$A e^{-j t_0 \omega}$
45	$A (\delta(t + t_0) + \delta(t - t_0))$	$2A \cos(\omega t_0)$
46	$e^{j\beta t} (A + \alpha \cos(\omega_0 t))$	$2\pi \left(A \delta(\omega - \beta) + \frac{\alpha}{2} (\delta(\omega - \beta + \omega_0) + \delta(\omega - \beta - \omega_0)) \right)$
47	$e^{j\beta t} (A + \alpha \sin(\omega_0 t))$	$2\pi \left(A \delta(\omega - \beta) + \frac{j\alpha}{2} (\delta(\omega - \beta + \omega_0) - \delta(\omega - \beta - \omega_0)) \right)$
48	$A (1 - e^{-at}) u(t)$	$\pi A \delta(\omega) - A \left(\frac{a}{a^2 + \omega^2} + \frac{j a^2}{\omega(a^2 + \omega^2)} \right)$
49	$\operatorname{sgn}(t) \cdot A \cdot e^{-a t }$	$-2jA \frac{\omega}{\omega^2 + a^2}$
50	$A \cdot e^{j\omega_0 t - a t }$	$\frac{2A}{a} \cdot \frac{a^2}{(\omega - \omega_0)^2 + a^2}$
51	$A \cdot \cos(\omega_0 t) e^{-a t }$	$\frac{A}{a} \cdot \frac{2a^2(a^2 + \omega_0^2 + \omega^2)}{(a^2 + \omega_0^2 - \omega^2)^2 + 4a^2\omega^2}$
52	$A \cdot p_\alpha(t - \beta)$	$2A e^{-j\beta\omega} \frac{\sin(\alpha\omega)}{\omega} = \frac{jA}{\omega} (e^{-j\omega(\beta+\alpha)} - e^{-j\omega(\beta-\alpha)})$
53	$A \cdot e^{j\omega_0 t} p_\alpha(t)$	$2A \frac{\sin(\alpha(\omega_0 - \omega))}{\omega_0 - \omega}$
54	$A \cdot (p_\alpha(t - \beta) + p_\alpha(t + \beta))$	$2A \frac{\cos(\beta\omega) \sin(\alpha\omega)}{\omega}$

Tabelle 2.9: Fourier-Transformationspaare

2.B Tabelle von Laplace-Transformationspaaren

Die Transformationspaare sind mehrheitlich [6, 7, 21, 47, 69] entnommen. Es gilt: $0 < \alpha \in \mathbb{R}, n \in \mathbb{N}, a, \nu \in \mathbb{C}, s = \sigma + j\omega$ und somit $\Re\{s\} = \sigma$ und $\Im\{s\} = \omega$.

#	$f(t)$, wobei $f(t) = 0$ für $t < 0$	$F(s)$ mit Konvergenzbereich
1	$\frac{d^n f(t)}{dt^n}$	$s^n F(s) - s^{n-1} f(0) - s^{n-2} \frac{df(0)}{dt} - \dots - \frac{d^{n-1} f(0)}{dt^{n-1}}$
2	$\int_0^t f(x) dx$	$\frac{F(s)}{s}$
3	$\frac{f(t)}{t}$	$\int_0^\infty F(s) ds$
4	$f(t - \alpha) u(t - \alpha)$	$e^{-s\alpha} F(s)$
5	$f(t + \alpha) u(t + \alpha)$	$e^{+s\alpha} \left(F(s) - \int_0^a e^{-st} f(t) dt \right)$
6	$f_1(t) * f_2(t) * f_3(t)$	$F_1(s) \cdot F_2(s) \cdot F_3(s)$
7	$f_1(t) \cdot f_2(t)$	$\frac{1}{2\pi j} (F_1(s) * F_2(s))$
8	$\lim_{t \rightarrow 0^+} f(t)$	$\lim_{s \rightarrow \infty} s F(s)$
9	$\lim_{t \rightarrow \infty} f(t)$	$\lim_{s \rightarrow 0} s F(s)$
10	$u(t)$	$\frac{1}{s}$ mit $\sigma > 0$
11	$\delta(t)$	1 mit $\sigma \in \mathbb{R}$
12	$\frac{d\delta(t)}{dt}$	s
13	$\frac{t^{n-1}}{(n-1)!}$	$\frac{1}{s^n}$
14	$\frac{t^{n-1} e^{-at}}{(n-1)!}$	$\frac{1}{(s-a)^n}$
15	$\frac{1}{\sqrt{\pi t}}$	$\frac{1}{\sqrt{s}}$
16	$\frac{n! 4^n t^{n-\frac{1}{2}}}{(2n)! \sqrt{\pi}}$	$\frac{1}{s^n \sqrt{s}}$
17	$J_\nu(at)$ mit $\Re\{\nu\} > -1$	$\frac{(\sqrt{s^2 + a^2} - s)^\nu}{a^\nu \sqrt{s^2 + a^2}}$ mit $\sigma > \Im\{a\} $
18	$I_\nu(at)$ mit $\Re\{\nu\} > -1$	$\frac{(s - \sqrt{s^2 - a^2})^\nu}{a^\nu \sqrt{s^2 - a^2}}$ mit $\sigma > \Re\{a\} $
19	$\frac{\sin(\alpha t)}{t}$	$\underbrace{\arctan\left(\frac{\alpha}{s}\right)}_{\tan^{-1}}$ mit $\sigma > 0$

Tabelle 2.10: Laplace-Transformationspaare

$J_\nu(at)$ ist die **Bessel-** oder **Zylinderfunktion** ν . **Ordnung 1. Gattung** und $I_\nu(at)$ ist die **modifizierte Bessel-Funktion** ν . **Ordnung** [7].

Die folgende Tabelle ist nach dem Grad des Nenners geordnet. Die Tabelle ist bis zum Nennergrad 3 vollständig und stammt von [6, 21].

$F(s)$,	Konvergenzbereich	$f(t)$, wobei $f(t) = 0$ für $t < 0$ mit $(\alpha, \beta, \gamma) \in \mathbb{C}$.
1 ,	$\sigma \in \mathbb{R}$	$\delta(t)$
$\frac{1}{s}$,	$\sigma > 0$	$1 (\equiv u(t))$
$\frac{1}{s+\alpha}$,	$\sigma > -\Re\{\alpha\}$	$e^{-\alpha t}$
$\frac{1}{s^2}$,	$\sigma > 0$	t
$\frac{1}{s(s+\alpha)}$,	$\sigma > -\min\{\Re\{\alpha\}, 0\}$	$\frac{1-e^{-\alpha t}}{\alpha}$
$\frac{1}{(s+\alpha)(s+\beta)}$,	$\sigma > -\min\{\Re\{\alpha\}, \Re\{\beta\}\}$	$\frac{e^{-\alpha t}-e^{-\beta t}}{\beta-\alpha}$
$\frac{s}{(s+\alpha)(s+\beta)}$,	$\sigma > -\min\{\Re\{\alpha\}, \Re\{\beta\}\}$	$\frac{\alpha e^{-\alpha t}-\beta e^{-\beta t}}{\alpha-\beta}$
$\frac{1}{(s+\alpha)^2}$,	$\sigma > -\Re\{\alpha\}$	$te^{-\alpha t}$
$\frac{s}{(s+\alpha)^2}$,	$\sigma > -\Re\{\alpha\}$	$e^{-\alpha t}(1-\alpha t)$
$\frac{1}{s^2-\alpha^2}$,	$\sigma > \Re\{\alpha\} $	$\frac{\sinh(\alpha t)}{\alpha}$
$\frac{s}{s^2-\alpha^2}$,	$\sigma > \Re\{\alpha\} $	$\cosh(\alpha t)$
$\frac{1}{s^2+\alpha^2}$,	$\sigma > \Im\{\alpha\} $	$\frac{\sin(\alpha t)}{\alpha}$
$\frac{s}{s^2+\alpha^2}$,	$\sigma > \Im\{\alpha\} $	$\cos(\alpha t)$
$\frac{1}{(s+\beta)^2+\alpha^2}$,	$\sigma > \Im\{\alpha\} - \Re\{\beta\}$	$\frac{e^{-\beta t} \sin(\alpha t)}{\alpha}$
$\frac{s}{(s+\beta)^2+\alpha^2}$,	$\sigma > \Im\{\alpha\} - \Re\{\beta\}$	$\frac{e^{-\beta t}(\alpha \cos(\alpha t) - \beta \sin(\alpha t))}{\alpha}$
$\frac{1}{s^3}$,	$\sigma > 0$	$\frac{t^2}{2}$
$\frac{1}{s^2(s+\alpha)}$,	$\sigma > -\min\{\Re\{\alpha\}, 0\}$	$\frac{e^{-\alpha t} + \alpha t - 1}{\alpha^2}$
$\frac{1}{s(s+\alpha)(s+\beta)}$,	$\sigma > -\min\{\Re\{\alpha\}, \Re\{\beta\}, 0\}$	$\frac{(\alpha-\beta) + \beta e^{-\alpha t} - \alpha e^{-\beta t}}{\alpha\beta(\alpha-\beta)}$
$\frac{1}{s(s+\alpha)^2}$,	$\sigma > -\min\{\Re\{\alpha\}, 0\}$	$\frac{1-e^{-\alpha t} - \alpha t e^{-\alpha t}}{\alpha^2}$
$\frac{1}{(s+\alpha)(s+\beta)(s+\gamma)}$,	$\sigma > -\min\{\Re\{\alpha\}, \Re\{\beta\}, \Re\{\gamma\}\}$	$\frac{(\gamma-\beta)e^{-\alpha t} + (\alpha-\gamma)e^{-\beta t} + (\beta-\alpha)e^{-\gamma t}}{(\alpha-\beta)(\beta-\gamma)(\gamma-\alpha)}$
$\frac{s}{(s+\alpha)(s+\beta)(s+\gamma)}$,	$\sigma > -\min\{\Re\{\alpha\}, \Re\{\beta\}, \Re\{\gamma\}\}$	$\frac{\alpha(\beta-\gamma)e^{-\alpha t} + \beta(\gamma-\alpha)e^{-\beta t} + \gamma(\alpha-\beta)e^{-\gamma t}}{(\alpha-\beta)(\beta-\gamma)(\gamma-\alpha)}$
$\frac{s^2}{(s+\alpha)(s+\beta)(s+\gamma)}$,	$\sigma > -\min\{\Re\{\alpha\}, \Re\{\beta\}, \Re\{\gamma\}\}$	$\frac{-\alpha^2(\beta-\gamma)e^{-\alpha t} - \beta^2(\gamma-\alpha)e^{-\beta t} - \gamma^2(\alpha-\beta)e^{-\gamma t}}{(\alpha-\beta)(\beta-\gamma)(\gamma-\alpha)}$
$\frac{1}{(s+\alpha)(s+\beta)^2}$,	$\sigma > -\min\{\Re\{\alpha\}, \Re\{\beta\}\}$	$\frac{e^{-\alpha t} - [1 + (\beta-\alpha)t]e^{-\beta t}}{(\beta-\alpha)^2}$
$\frac{s}{(s+\alpha)(s+\beta)^2}$,	$\sigma > -\min\{\Re\{\alpha\}, \Re\{\beta\}\}$	$\frac{-\alpha e^{-\alpha t} + [\alpha + t\beta(\beta-\alpha)]e^{-\beta t}}{(\beta-\alpha)^2}$
$\frac{s^2}{(s+\alpha)(s+\beta)^2}$,	$\sigma > -\min\{\Re\{\alpha\}, \Re\{\beta\}\}$	$\frac{\alpha^2 e^{-\alpha t} + \beta(\beta-2\alpha-t\beta^2+\alpha\beta t)e^{-\beta t}}{(\beta-\alpha)^2}$
$\frac{1}{(s+\alpha)^3}$,	$\sigma > -\Re\{\alpha\}$	$\frac{t^2 e^{-\alpha t}}{2}$
$\frac{s}{(s+\alpha)^3}$,	$\sigma > -\Re\{\alpha\}$	$\frac{(2-\alpha t)te^{-\alpha t}}{2}$
$\frac{s^2}{(s+\alpha)^3}$,	$\sigma > -\Re\{\alpha\}$	$\frac{(2-4\alpha t + \alpha^2 t^2)e^{-\alpha t}}{2}$
$\frac{1}{s[(s+\beta)^2+\alpha^2]}$,	$\sigma > -\min\{\Re\{\beta\} - \Im\{\alpha\} , 0\}$	$\frac{\alpha - e^{-\beta t}[\alpha \cos(\alpha t) + \beta \sin(\alpha t)]}{\alpha(\alpha^2+\beta^2)}$
$\frac{1}{s(s^2+\alpha^2)}$,	$\sigma > \Im\{\alpha\} $	$\frac{1-\cos(\alpha t)}{\alpha^2}$
$\frac{1}{(s+\alpha)(s^2+\beta^2)}$,	$\sigma > -\min\{- \Im\{\beta\} , \Re\{\alpha\}\}$	$\frac{\beta e^{-\alpha t} + \alpha \sin(\beta t) - \beta \cos(\beta t)}{\beta(\alpha^2+\beta^2)}$
$\frac{s}{(s+\alpha)(s^2+\beta^2)}$,	$\sigma > -\min\{- \Im\{\beta\} , \Re\{\alpha\}\}$	$\frac{-\alpha e^{-\alpha t} + \alpha \cos(\beta t) + \beta \sin(\beta t)}{\alpha^2+\beta^2}$
$\frac{s^2}{(s+\alpha)(s^2+\beta^2)}$,	$\sigma > -\min\{- \Im\{\beta\} , \Re\{\alpha\}\}$	$\frac{\alpha^2 e^{-\alpha t} - \alpha\beta \sin(\beta t) + \beta^2 \cos(\beta t)}{\alpha^2+\beta^2}$
$\frac{1}{(s+\alpha)[(s+\beta)^2+\gamma^2]}$,	$\sigma > -\min\{\Re\{\alpha\}, \Re\{\beta\} - \Im\{\gamma\} \}$	$\frac{e^{-\alpha t} - e^{-\beta t} \cos(\gamma t) + \frac{\alpha-\beta}{\gamma} e^{-\beta t} \sin(\gamma t)}{(\beta-\alpha)^2+\gamma^2}$
$\frac{s}{(s+\alpha)[(s+\beta)^2+\gamma^2]}$,	$\sigma > -\min\{\Re\{\alpha\}, \Re\{\beta\} - \Im\{\gamma\} \}$	$\frac{-\alpha e^{-\alpha t} + \alpha e^{-\beta t} \cos(\gamma t) - \frac{\alpha\beta-\beta^2-\gamma^2}{\gamma} e^{-\beta t} \sin(\gamma t)}{(\beta-\alpha)^2+\gamma^2}$
$\frac{s^2}{(s+\alpha)[(s+\beta)^2+\gamma^2]}$,	$\sigma > -\min\{\Re\{\alpha\}, \Re\{\beta\} - \Im\{\gamma\} \}$	$\frac{\alpha^2 e^{-\alpha t} + [(\alpha-\beta)^2 + \gamma^2 - \alpha^2] e^{-\beta t} \cos(\gamma t) - (\alpha\gamma + \beta(\gamma - \frac{\beta(\alpha-\beta)}{\gamma})) e^{-\beta t} \sin(\gamma t)}{(\beta-\alpha)^2+\gamma^2}$
$\frac{1}{s^4}$,	$\sigma > 0$	$\frac{t^3}{6}$

Tabelle 2.11: Laplace-Transformationspaare